

СДВИГ ШТАМПОМ УПРУТОГО НЕОДНОРОДНОГО ПОЛУПРОСТРАНСТВА СПЕЦИАЛЬНОГО ВИДА

С. М. АЙЗИКОВИЧ

(Ростов-на-Дону)

Рассматривается задача о деформации чистого сдвига штампом двухслойного упругого полупространства. В верхнем слое модуль сдвига изменяется по экспоненциальному закону, на границе между слоем и полупространством предполагается полное сцепление. Для решения задачи использованы асимптотические методы, позволившие представить основные характеристики задачи в простом аналитическом виде. Для контроля точности асимптотических формул использован метод коллокации по чебышевским узлам.

1. Постановка задачи. Пусть недеформируемый бесконечный штамп с плоским основанием жестко сцеплен с поверхностью Γ упругого неоднородного полупространства Ω . С полупространством связана декартова система координат x, y, z . Штамп контактирует с полупространством по поверхности: $y=0, |x| \leq a$.

На каждую единицу длины штампа действует сдвигающее усилие P , параллельное оси z . Под действием этого усилия штамп переместится в направлении оси z на величину ε , вызвав в Ω деформацию чистого сдвига. Модуль сдвига полупространства с глубиной изменяется по закону

$$G = G_0 e^{\nu y}, \quad \nu > 0, \quad 0 \geq y \geq -H; \quad G = G_1 = G_0 e^{-H\nu}, \quad -H > y > -\infty \quad (1.1)$$

Вне штампа Γ не загружена. При сделанных предположениях граничные условия задачи имеют вид

$$\begin{aligned} \sigma_y = \tau_{xy} = 0, \quad \tau_{yz} = 0, \quad y = 0, \quad |x| > a \\ \sigma_y = \tau_{xy} = 0, \quad w = \varepsilon, \quad y = 0, \quad |x| \leq a \end{aligned} \quad (1.2)$$

где w — перемещение вдоль оси z . При $x \rightarrow \infty$ напряжения исчезают.

Считаем, что перемещения и напряжения сопрягаются на границе изменения закона неоднородности

$$\tau_{yz}^1 = \tau_{yz}^2, \quad w^1 = w^2 \quad \text{при} \quad y = -H \quad (1.3)$$

Требуется определить закон распределения контактных касательных напряжений под штампом

$$\tau_{yz}|_{y=0} = \tau(x), \quad |x| \leq a \quad (1.4)$$

Методами операционного исчисления эта задача сводится к решению интегрального уравнения

$$\int_{-1}^1 \varphi(\xi) \int_0^{\infty} M(u) \cos\left(u \frac{\xi - x}{\lambda}\right) du d\xi = \pi G_0 \varepsilon \quad (1.5)$$

$$\lambda = \frac{H}{a}, \quad |x| \leq 1, \quad \tau(x) = \varphi\left(\frac{x}{a}\right)$$

$$M(u) = \frac{1}{|u|} \frac{(|u| + \mu) \operatorname{sh} v + v \operatorname{ch} v}{(|u| - \mu) \operatorname{sh} v + v \operatorname{ch} v}$$

$$\mu = 2\nu H, \quad v = \sqrt{\mu^2 + u^2}$$

$$M(u) = e^{2\mu} |u|^{-1} - (e^{2\mu} - 1)^2 (2\mu)^{-1} + O(|u|) \quad \text{при } u \rightarrow 0 \quad (1.6)$$

$$M(u) = |u|^{-1} [1 + \mu |u|^{-1} + 0.5\mu^2 u^2 - 0.125\mu^4 u^{-4}] + O(u^{-6}) \quad \text{при } u \rightarrow \infty \quad (1.7)$$

2. Асимптотические решения при больших значениях λ .

1. Аппроксимируем $M(u)$ функцией

$$M_1(u) = (1 + ce^{-\kappa|u|}) / |u| + N / (u^2 + D^2) \quad (2.1)$$

$$M_1(u) = (1 + c) |u|^{-1} - c\kappa + ND^{-2} + 1/2 c\kappa^2 |u| + O(u^2) \quad \text{при } u \rightarrow 0$$

$$M_1(u) = |u|^{-1} + Nu^{-2} \quad \text{при } u \rightarrow \infty \quad (2.2)$$

Постоянные в (2.1) определяются из условий совпадения первых членов разложений (1.6) и (2.2). Продифференцируем (1.5) с $M(u) \equiv M_1(u)$ один раз по x ; используя [1], получим уравнение

$$\int_{-1}^1 \varphi(\xi) \left[\frac{1}{\xi - x} + \frac{c}{\kappa} \frac{(\xi - x)\kappa^{-1}}{(\xi - x)^2 \kappa^{-2} + \lambda^2} + \frac{N\pi}{2\lambda} e^{-q} \operatorname{sign} \frac{\xi - x}{\lambda} \right] d\xi = 0, \quad q = \left| \frac{\xi - x}{\lambda} \right| D \quad (2.3)$$

Введем параметр $[\frac{2-4}{1}] \tau = \sqrt{1/\lambda^2 + 1}^{-1} / 2\lambda$. Разложим третье слагаемое ядра уравнения (2.3) по степеням τ . Тогда получим

$$\frac{1}{\lambda} e^{-q_1} \operatorname{sign} t = \operatorname{sign}(t) \tau - \frac{D}{2} t \tau^2 + \left(1 + \frac{D}{2} t^2\right) \operatorname{sign} t \tau^3 - 2Dt \left(1 + \frac{1}{12} D^2 t^2\right) \tau^4 + O(\tau^5), \quad t = \xi - x, \quad q_1 = \frac{|t|}{\lambda} D \quad (2.4)$$

Воспользуемся разложением [4]:

$$\frac{t}{t^2 + \lambda^2} = \sum_{n=2, 4, 6}^{\infty} \tau^n \sum_{k=0}^{1/2 n - 1} \frac{(n-1-k)! (-1)^{n/2-k+1}}{k! (n-1-2k)!} t^{n-2k-1} \quad (2.5)$$

Решение (2.3) ищем в виде

$$\varphi(x) = \sum_{i=0}^{\infty} \gamma_i(x) \tau^i \quad (2.6)$$

Подставляя (2.4)–(2.6) в (2.3), имеем

$$\int_{-1}^1 \sum_{i=0}^{\infty} \gamma_i(\xi) \tau^i \left[\frac{1}{\xi - x} + \sum_{n=1}^{\infty} k_n(\xi - x) \tau^n \right] = 0 \quad (2.7)$$

Приравняем коэффициенты при одинаковых степенях t . Тогда для определения $\gamma_i(\zeta)$ получим последовательность уравнений

$$\int_{-1}^1 \frac{\gamma_n(\zeta)}{\zeta-x} d\zeta = - \int_{-1}^1 \sum_{i=0}^{n-1} \gamma_i(\zeta) k_{n-i}(\zeta-x) d\zeta \quad (n=0,1,2,\dots) \quad (2.8)$$

$$k_1(t) = {}^{1/2}N\pi \operatorname{sign} t, \quad k_2(t) = (c\kappa^{-2} - {}^{1/2}N\pi D)t \\ k_3(t) = {}^{1/2}N\pi(1 + {}^{1/2}D^2t^2) \operatorname{sign} t, \quad k_4(t) = (2c\kappa^{-2} - N\pi D)t - \\ - (c\kappa^{-4} + {}^{1/2}12N\pi D^3)t^3$$

Решая последовательно (2.8), получим

$$\gamma_0(x) = \frac{A}{\pi\sqrt{1-x^2}}, \quad \gamma_1(x) = -\frac{2AN}{\pi} \frac{S_1(x)}{\sqrt{1-x^2}} \\ \gamma_2(x) = \frac{A}{\pi} \left(c\kappa^{-2} - \frac{1}{2}N\pi D \right) \frac{x^{2-1/2}}{\sqrt{1-x^2}} + \frac{8AN}{\pi^3} (S_2^*(x) - D^0) \frac{1}{\sqrt{1-x^2}} \\ \gamma_3(x) = -\frac{2ANS_1(x)}{\pi^2\sqrt{1-x^2}} - \frac{AND^2}{4\pi^2} \left[2(1+2x^2)S_1(x) - 3S_4(x) + \frac{8}{9} \right] \frac{1}{\sqrt{1-x^2}} + \\ + \frac{A}{2\pi^2} \left(\frac{c}{\kappa^2} - \frac{N\pi D}{2} \right) N \frac{S_4(x)}{\sqrt{1-x^2}} - \frac{8AN^3}{\pi^4} \frac{[S_5(x) - 2D^0S_1(x)]}{\sqrt{1-x^2}}$$

Функции $S_i(x)$ ($i=1-5$) приведены в [5]; $D^0=0.1508$. Постоянная A определяется из условия

$$\int_{-1}^1 \varphi(x) dx = P$$

2. Используя [5], на основании (1.7) приходим к выводу, что ядро уравнения (1.5)

$$K(t) = \int_0^\infty M(u) \cos ut du$$

с точностью до бесконечной постоянной имеет следующую структуру:

$$\bar{K}(t) = -\ln |t| - {}^{1/2}\pi\mu |t| + {}^{1/4}\mu^2 t^2 \ln |t| + a_{31}t^2 + O(t^3) \quad (2.9)$$

$$a_{31} = -\frac{3}{8}\mu^2 + \frac{1}{2} \int_0^\infty \left[u^2 - uM(u) + \mu u + \frac{\mu^2}{2}(1-e^{-u}) \right] \frac{du}{u}$$

Для ядра вида (2.9) решение построено в [5] и имеет вид

$$\varphi(x) = \frac{1}{\sqrt{1-x^2}} \sum_{m=0}^\infty \sum_{n=0}^\infty \omega_{mn} \lambda^{-m} \ln^n \lambda \quad (2.10)$$

Численное сравнение при $\lambda=2$ показало, что решения (2.6) и (2.10) отличаются меньше чем на 5%.

3. Асимптотическое решение при малых значениях λ . Воспользуемся методом из [6]. Аппроксимируем $M(u)$ функцией

$$M_2(u) = \frac{1}{|u|} \frac{u^2 + A^2\lambda^2}{u^2 + B^2\lambda^2} \quad (3.1)$$

Уравнение (1.5) с функцией $M_2(u)$ можно записать так:

$$\int_{-1}^1 \varphi(\xi) d\xi \int_{-\infty}^{\infty} \frac{1}{|u|} \frac{u^2 + A^2 \lambda^2}{u^2 + B^2 \lambda^2} e^{-i q_2 u} du = 2\pi G_0 \varepsilon, \quad q_2 = u \left(\frac{\xi - x}{\lambda} \right) \quad (3.2)$$

Сделаем замену переменных $u = \alpha \lambda$ и поменяем порядок интегрирования. При этом получим

$$\int_{-\infty}^{\infty} \frac{1}{|\alpha|} \frac{\alpha^2 + A^2}{\alpha^2 + B^2} e^{-i \alpha x} \int_{-1}^1 \varphi(\xi) e^{i \alpha \xi} d\xi = 2\pi \varepsilon G_0 \quad (3.3)$$

Используя соотношение

$$\int_{-1}^1 \varphi(\xi) e^{i \alpha \xi} d\xi = T(\alpha), \quad \tau(x) = \frac{1}{2\pi} \int_{-\infty}^{\infty} T(\alpha) e^{-i \alpha x} d\alpha \quad (3.4)$$

получим парное интегральное уравнение

$$\int_{-\infty}^{\infty} \frac{T(\alpha)}{|\alpha|} \frac{\alpha^2 + A^2}{\alpha^2 + B^2} e^{-i \alpha x} d\alpha = 2\pi \varepsilon G_0, \quad |x| \leq 1 \quad (3.5)$$

$$\int_{-\infty}^{\infty} T(\alpha) e^{-i \alpha x} d\alpha = 0, \quad |x| > 1 \quad (3.6)$$

Введем обозначение

$$p(x) = \frac{1}{2\pi} \int_{-\infty}^{\infty} \frac{T(\alpha)}{|\alpha|} e^{-i \alpha x} d\alpha \quad (3.7)$$

Разрешим (3.5) относительно $p(x)$

$$p(x) = C_H \operatorname{ch} Ax + D_H \operatorname{sh} Ax + \frac{B^2}{A^2} \varepsilon G_0 \quad (3.8)$$

Здесь D_H, C_H — неопределенные постоянные. Так как $p(x)$ связана с искомой функцией $\varphi(x)$ соотношениями (3.4), (3.7) и $\varphi(x)$ четна, то $p(x)$ четна и $D_H = 0$. Продифференцируем (3.5) по x ; тогда получим

$$-i \int_{-\infty}^{\infty} \operatorname{sign} \alpha T(\alpha) e^{-i \alpha x} d\alpha = 2\pi p'(x), \quad |x| \leq 1 \quad (3.9)$$

$$\int_{-\infty}^{\infty} T(\alpha) e^{-i \alpha x} d\alpha = 0, \quad |x| > 1 \quad (3.10)$$

Выделим вещественную часть (3.9), (3.10); затем, домножая (3.9) на $x(t^2 - x^2)^{-1/2}$, а (3.10) на $x(x^2 - t^2)^{-1/2}$ и интегрируя соответственно от 0 до t и от t до ∞ , найдем

$$\int_0^{\infty} T(\alpha) J_1(\alpha t) d\alpha = \frac{2}{t} \int_0^t \frac{p'(x) x dx}{\sqrt{t^2 - x^2}}, \quad |t| \leq 1 \quad (3.11)$$

$$\int_0^{\infty} T(\alpha) J_1(\alpha t) d\alpha = 0, \quad |t| > 1$$

Обращая (3.11) по Ханкелю, имеем

$$T(\alpha) = 2\alpha \int_0^1 J_1(\alpha\tau) d\tau \int_0^{\tau} \frac{p'(x)x dx}{\sqrt{\tau^2 - x^2}} + \pi E J_0(\alpha) \quad (3.12)$$

Здесь E — постоянная, определяемая из условия

$$\int_{-1}^1 \tau(x) dx = P \quad (3.13)$$

Подставляя в (3.12) значение $p(x)$ из (3.8), получим

$$T(\alpha) = C \frac{\alpha}{\alpha^2 + A^2} [AI_0(A)J_1(\alpha) - \alpha I_1(A)J_0(\alpha)] + E\pi J_0(\alpha) \quad (3.14)$$

где C — новая неопределенная постоянная.

Из (3.13) находим $E = TP^{-1}$. Подставим (3.14) в (3.5) и продифференцируем по x ; так как $T(\alpha)$ из (3.14) должно удовлетворять исходному уравнению, то получим

$$C = T(B^2 - A^2)B^{-1} \left[AI_0(A) \frac{K_1(B)}{K_0(B)} + I_1(A)B \right]^{-1}$$

Найдем выражение для

$$\tau(x) = \frac{1}{\pi} \int_0^{\infty} T(\alpha) \cos \alpha x d\alpha$$

Для вычисления интегралов используем равенство Парсеваля в форме

$$\int_0^{\infty} f(\alpha)g(\alpha) d\alpha = \frac{2}{\pi} \int_0^{\infty} F_c(t)G_c(t) dt$$

$$F_c(t) = \int_0^{\infty} f(\alpha) \cos \alpha t d\alpha, \quad G_c(t) = \int_0^{\infty} g(\alpha) \cos \alpha t d\alpha$$

Окончательно получим

$$\tau(x) = P \left[\frac{\pi^{-1} - CI_1(A)}{\sqrt{1-x^2}} + CA\Phi(x, A) \right] \quad (3.15)$$

$$\Phi(x, A) = \int_x^1 \frac{I_0(A)\alpha \operatorname{ch} A(\alpha-x) - I_1(A) \operatorname{sh} A(\alpha-x)}{\sqrt{1-\alpha^2}} d\alpha$$

Функция Φ выражается через линейную комбинацию неполных цилиндрических функций в форме Пуассона, для которых в [7] построена общая теория и имеются таблицы.

Замечание. Рассмотрим более общую аппроксимацию

$$M_N(u) = \frac{1}{|u|} \prod_{i=1}^N \frac{(u^2 + A_i^2 \lambda^2)}{(u^2 + B_i^2 \lambda^2)}$$

Пусть

$$\prod_{i=1}^N \frac{(u^2 + A_i^2 \lambda^2)}{(u^2 + B_i^2 \lambda^2)} = \sum_{i=1}^N \frac{p_i k}{u^2 + B_i^2 \lambda^2}$$

$$\prod_{i=1}^N \frac{(u^2 + A_i^2 \lambda^2)}{(u^2 + B_i^2 \lambda^2)} = 1 + \sum_{i=1}^N \frac{L_i}{u^2 + B_i^2 \lambda^2}$$

где Π_k' означает, что в числителе нет сомножителя $(u^2 + A_k^2 \lambda^2)$; p, k и L_i известны. Тогда контактные касательные напряжения запишутся в виде

$$\tau(x) = p \left\{ \frac{1}{\pi \sqrt{1-x^2}} - \sum_{i=1}^N [C_i I_1(A_i) - C_i A_i \Phi(x, A_i)] \right\}$$

где постоянные C_i определяются из системы линейных уравнений

$$\sum_{i=1}^N C_i p_i k [A_i I_0(A_i) K_1(B_k) + I_1(A_i) B_k K_0(B_k)] + \frac{L_k K_0(B_k)}{B_k} = 0 \quad (k=1, 2, \dots, N)$$

4. Метод коллокации. Решение уравнения (1.5) при $\lambda \geq 1$ может быть построено также методом коллокации по чебышевским узлам [3, 9]. Для этого (1.5) продифференцируем по x и перепишем с использованием аппроксимации (2.1) следующим образом:

$$\int_{-1}^1 \varphi(\xi) \left[\frac{1}{\xi-x} + k(\xi-x) \right] d\xi = 0 \quad (4.1)$$

$$k(t) = c \frac{t}{t^2 + \kappa^2 \lambda^2} + \frac{1}{\lambda} \int_0^{\infty} [M(u)u - 1 - ce^{-\kappa u}] \sin \frac{ut}{\lambda} du$$

Решение (4.1) ищем в виде

$$\varphi(x) = \frac{c_1}{\sqrt{1-x^2}} + \frac{\varphi_0(x)}{\sqrt{1-x^2}} \quad (4.2)$$

Будем иметь

$$\int_{-1}^1 \varphi(x) dx = P, \quad \pi c_1 + \int_{-1}^1 \frac{\varphi_0(x)}{\sqrt{1-x^2}} dx = P$$

Сделаем замену переменных $x = \cos \theta$, $t = \cos \tau$ и введем обозначения

$$x_k = \cos \theta_k, \quad \theta_k = (2k-1)\pi/4i \quad (k=1, 2, \dots, i)$$

Представим приближенно $\varphi_0(x)$ полиномом Лагранжа порядка k :

$$L_k(\varphi_0, x) = \frac{1}{k} \sum_{n=1}^k \varphi_0(x_n) \left(1 + 2 \sum_{m=1}^{k-1} \cos 2m\theta_n \cos 2m\theta \right) \quad (4.3)$$

Согласно [8], относительно $\varphi_0(x_n) \equiv \varphi_n^0$ и c_1 получим систему уравнений

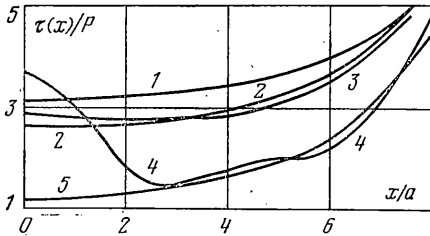
$$\sum_{n=1}^k a_{jn} \varphi_n^0 + c_1 b_j = 0, \quad \frac{1}{k} \sum_{n=1}^k \varphi_0(\cos \theta_n) + c_1 = \frac{P}{\pi} \quad (j=1, 2, \dots, k) \quad (4.4)$$

$$a_{jn} = \left[\frac{1}{\sin \theta_j} \sum_{m=1}^{k-1} [\cos 2m\theta_n \sin 2m\theta_j] + \frac{k(\cos \theta_n - \cos \theta_j) - k(\cos \theta_n + \cos \theta_j)}{2} \right]$$

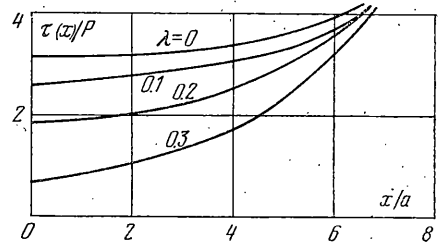
$$b_j = \frac{1}{2} \sum_{n=1}^k [k(\cos \theta_n - \cos \theta_j) - k(\cos \theta_n + \cos \theta_j)]$$

Подставляя определенные из (4.4) φ_n° и c_1 в (4.3) и затем в (4.2), получим решение уравнения (4.1).

5. Числовые результаты. На фиг. 1 приведены графики $\tau(x)P^{-1}$ при $\lambda=2$. Кривая 1 соответствует распределению напряжений для однородного полупространства; кривые 2, 3 построены для случая $\mu=\ln 2$ (значения подсчитаны методами «больших λ » и коллокации соответственно); кривые 4, 5 соответствуют аналогичным расчетам для $\mu=\ln 10$. При x , близких к нулю, асимптотический метод в случае $\lambda=2$ дает расхождение с численным. Заметим, что с увеличением λ разница уменьшается, и при $\lambda>8$ значения, подсчитанные численным и асимптотическим методом, практически совпадают.



Фиг. 1



Фиг. 2

Из рассмотрения графиков при $x_0<0.8$ видно (при постоянном λ): чем больше μ , тем сильнее отличается $\tau(x_0)P^{-1}$ от значения, соответствующего однородному полупространству. Отметим, что при постоянном μ с увеличением λ распределение напряжений стремится к случаю однородного полупространства.

На фиг. 2 приведены графики $\tau(x)P^{-1}$ для $\lambda<1$, $\mu=2$; значения подсчитаны методом «малых λ ». Из графиков видно, что для $\lambda<1$ при фиксированном μ с уменьшением λ распределение напряжений стремится к распределению в случае однородного полупространства. При фиксированном λ чем больше μ , тем сильнее отличается распределение напряжений от случая однородного полупространства.

Замечание. Предложенные методы позволяют решить поставленную задачу, когда $G_0(y)$ — достаточно гладкая функция, и модуль сдвига полупространства изменяется по закону

$$G=G_0(y), \quad 0 \geq y \geq -H, \quad G=G_0(-H), \quad -H > y > -\infty$$

Автор благодарен В. М. Александрову за постановку задачи и постоянное внимание к работе.

Поступила 15 II 1978

ЛИТЕРАТУРА

1. Градштейн И. С., Рыжик И. М. Таблицы интегралов, сумм, рядов и произведений. М., «Наука», 1971.
2. Александров В. М. О двух новых методах решения контактных задач для упругой полосы. Научн. сообщ. Ростовск.-н/Д ун-та. Сер. точн. и естеств. наук, 1964. Изд-во Ростовск.-н/Д ун-та, 1965.
3. Каюк Я. Ф., Алексеева М. К. Применение метода малого параметра к расчету напряженного состояния пологих оболочек. Прикл. механ., 1965, т. 1, вып. 7.
4. Панченков А. Н. Гидродинамика подводного крыла. Киев, «Наукова думка», 1965.
5. Александров В. М., Белокопъ А. В. Асимптотическое решение одного класса интегральных уравнений и его применение к контактным задачам для цилиндрических упругих тел. ПММ, 1967, т. 31, вып. 4.
6. Александров В. М. О решении одного класса парных уравнений. Докл. АН СССР, 1973, т. 210, № 1.
7. Агрест М. М., Максимов М. З. Теория неполных цилиндрических функций и их приложения. М., Атомиздат, 1965.
8. Каландия А. И. Математические методы двумерной упругости М., «Наука», 1973.
9. Александров В. М. Осесимметричная контактная задача для упругого бесконечного цилиндра. Изв. АН СССР. ОТН. Механика и машиностроение, 1962, № 5.